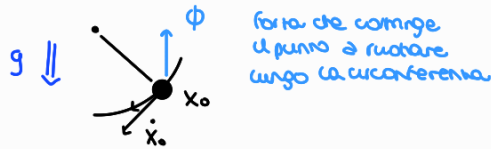


ESEMPIO PROTOTIPICO

Intro

(pendolo)

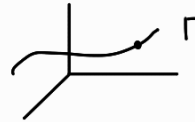


Domanda a cui cercheremo di rispondere: $\exists!$ $\phi(x, \dot{x})$ forza tale $m\ddot{x} = f(x) + \phi(x, \dot{x})$ con dati iniziali $x_0 \in \Gamma$, $\dot{x}_0 \in T_{x_0}\Gamma$ e tale che i moti rimangano su Γ ?

Questa forza non forza normale, perché non soddisfatta il principio di traslazione (re cambia f, ϕ cambia). Parliamo di "reazioni vincolari", opposte alle "forze attive"

esempio

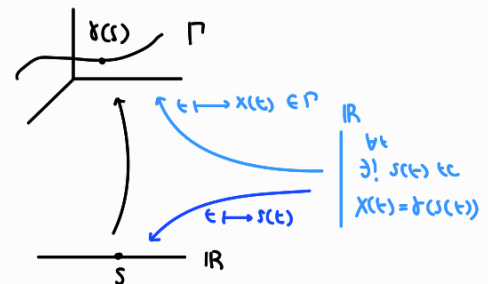
$N=1$



$$\ddot{x} = f(x, \dot{x}) + \phi(x, \dot{x}) \quad \forall x_0 \in \Gamma, \forall \dot{x}_0 \in T_{x_0}\Gamma, t \mapsto x(t) \in \Gamma \quad \forall t$$

Parametrizzo $\Gamma : \mathbb{R} \ni s \mapsto \delta(s) \in \mathbb{R}^3$

$$\delta(s) = \begin{pmatrix} \delta_1(s) \\ \delta_2(s) \\ \delta_3(s) \end{pmatrix}$$



oss. A stiamo chiedendo se con l'appiattimento di ϕ , Γ diventa invariante

E' comodo scegliere δ con parametro d'arco (vel. unitaria).

In ogni punto, vogliamo scegliere una base "comoda", come la base di Frenet (attenzione: propriamente, e' una base per lo spazio tangente, non un riferimento)

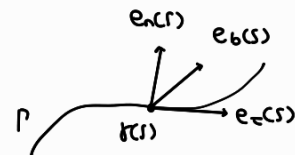
derivato $\|e_\tau(s)\|^2 = 1$

$$e_\tau(s) := \delta'(s) \quad \|e_\tau(s)\| = \|\delta'(s)\| = 1 \quad \forall s$$

$$\Rightarrow e'_\tau(s) \perp e_\tau(s)$$

$$e_n(s) := \rho(s) \underbrace{e'_\tau(s)}_{\text{suppongo } \neq 0} \quad \text{con } \rho(s) = \frac{1}{\|e'_\tau(s)\|}$$

raggio di curvatura principale



$$e_b(s) := e_\tau(s) \times e_n(s)$$

Considero un moto $t \mapsto x(t) = \delta(s(t)) \in \Gamma$, allora

$$\dot{x}(t) = \delta'(s(t)) \dot{s}(t) = \dot{s}(t) e_\tau(s)$$

$$\ddot{x} = \ddot{s} e_\tau + \dot{s} e'_\tau(s) \dot{s} = \ddot{s} e_\tau(s) + \frac{\dot{s}^2}{\rho(s)} e_n(s)$$

Riscriviamo l'eq. di Newton $m\ddot{x} = f(x, \dot{x}) + \phi(x, \dot{x})$ nella base di Frenet

$$x = \delta(s) \in \Gamma, \quad \dot{x} = \dot{s} e_\tau(s) \in T_x \Gamma$$

$$f(x, \dot{x}) = f_\tau(s, \dot{s}) e_\tau(s) + f_n(s, \dot{s}) e_n(s) + f_b(s, \dot{s}) e_b(s)$$

$$\phi(x, \dot{x}) = \phi_\tau(s, \dot{s}) e_\tau(s) + \phi_n(s, \dot{s}) e_n(s) + \phi_b(s, \dot{s}) e_b(s)$$

feultimo $t \mapsto x(t) \in \Gamma$, allora $x(t) = \gamma(s(t))$ con $t \mapsto s(t)$ la

$$\begin{aligned} \text{componente } \tau: & \quad m\ddot{s} = f_\tau(s, \dot{s}) + \phi_\tau(s, \dot{s}) \quad (tg) \\ \text{componente } n: & \quad m \frac{\dot{s}^2}{\rho(s)} = f_n(s, \dot{s}) + \phi_n(s, \dot{s}) \\ \text{componente } b: & \quad 0 = f_b(s, \dot{s}) + \phi_b(s, \dot{s}) \end{aligned}$$

Per ogni scelta di $(s, \dot{s}) \mapsto \phi_\tau(s, \dot{s})$ (tg) è eq. del II ord. (si può scrivere in forma normale), $x_0 = \gamma(s_0) \in \Gamma$, $\dot{x}_0 = \dot{s}_0 e_\tau \in T_{x_0} \Gamma$

3° risolvere $t \mapsto s(t)$ con dati iniziali s_0, \dot{s}_0 .

Le altre due eq. ci permettono di determinare le rimanenti componenti di ϕ .

dunque ϕ non è unica! Ciò permette di descrivere diverse situazioni:

ϕ produce una forza tangente alla curva, che può essere, ad esempio, una forza d'attrito, che dipende dal materiale.

• $\phi_\tau(s, \dot{s}) = 0 \quad \forall s, \dot{s} \Rightarrow$ guida liscia (senza attrito)

o moto vincolato $t \mapsto x(t) \in \Gamma$

$$\underbrace{\phi(x(t), \dot{x}(t)) \cdot \dot{x}(t)}_{\parallel e_\tau(s(t))} = 0 \quad \forall t$$

esempio

(pendolo) \Rightarrow guida circolare liscia
 $\phi_\tau(s, \dot{s}) = 0$

$$\theta \mapsto \hat{r} = (R \sin \theta, 0, -R \cos \theta)$$

$$\hat{r}'(\theta) = (R \cos \theta, 0, R \sin \theta), \quad \|\hat{r}'(\theta)\| = R$$

$$\theta \mapsto s = R\theta$$

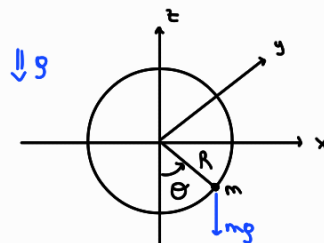
$$\gamma(s) = \hat{r}\left(\frac{s}{R}\right) = \left(R \sin\left(\frac{s}{R}\right), 0, -R \cos\left(\frac{s}{R}\right)\right)$$

$$e_\tau(s) = \gamma'(s) = \left(\cos\left(\frac{s}{R}\right), 0, \sin\left(\frac{s}{R}\right)\right)$$

$$f_\tau(s) = f(\gamma(s)) \cdot e_\tau(s) = \begin{pmatrix} 0 \\ 0 \\ -mg \end{pmatrix} \cdot \begin{pmatrix} \cos\left(\frac{s}{R}\right) \\ 0 \\ \sin\left(\frac{s}{R}\right) \end{pmatrix} = -mg \sin\left(\frac{s}{R}\right)$$

$$\Rightarrow m\ddot{s} = -g \sin\left(\frac{s}{R}\right)$$

$$\ddot{\theta} = \frac{\ddot{s}}{R} = -\frac{g}{R} \sin(\theta)$$



VINCOLI OLONOMI IDEALI (FISSI)

Fibrato tangente a sottovarietà

M sottovarietà k -dim di \mathbb{R}^m

$z \in M$

$T_z M = \{ \gamma'(0) : \gamma: \mathbb{R} \rightarrow M, \gamma(0) = z \} \subset T_z \mathbb{R}^m$ spazio tangente

$f \in M = \psi^{-1}(0)$ loc. buona $T_z M = \ker \psi'(z)$



sottosp. vettoriale

def $TM := \{ (z, v) : z \in M, v \in T_z M \} \subset \mathbb{R}^m \times \mathbb{R}^m = \mathbb{R}^{2m}$ fibrato tangente a sottovarietà M

prop TM è sottovarietà di \mathbb{R}^{2m} di dimensione $2k$ ($k = \dim M$)

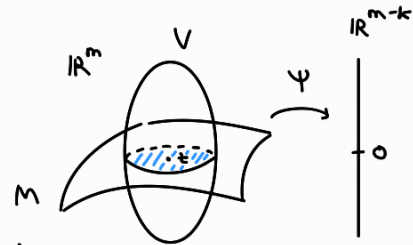
dim Mostriamo che, loc., TM è 0 di una immersione.

loc. M è 0 di immersione $\psi: U \rightarrow \mathbb{R}^{m-k}$

La candidata immersione per TM è l'addolcimento tangente

$$T\psi: TU = U \times \mathbb{R}^m \rightarrow T\mathbb{R}^{m-k} = \mathbb{R}^{m-k} \times \mathbb{R}^{m-k}$$

$$(z, v) \mapsto (\psi(z), \psi'(z)v)$$



1) Voglio mostrare che $\{(z, v) : z \in M \cap U, v \in T_z(M \cap U) = T_z M\} = T\psi^{-1}(0, 0)$

$$z \in M \cap U : \psi(z) = 0$$

$$v \in T_z(M \cap U) = T_z M : v \in \ker \psi'(z) \Rightarrow \psi'(z)v = 0$$

2) $T\psi$ è una immersione:

$$(z, v) \mapsto T\psi(z, v) = (\psi(z), \psi'(z)v)$$

calcoliamo la matrice Jacobiana

$$(T\psi)'(z, v) = \begin{pmatrix} \psi'(z) & 0 \\ * & \psi'(z) \end{pmatrix}$$

hanno rango $m-k$

\Rightarrow ha rango $2m-k \Rightarrow T\psi$ è immersione □

oss

$M \subseteq \mathbb{R}^m$ aperto $\Rightarrow TM = M \times \mathbb{R}^m$

o meglio: TM non è necessariamente diffeomorfo ad $M \times \mathbb{R}^k$ globalmente (localmente si)

M sottovarietà di \mathbb{R}^m di dim $k < m \Rightarrow TM \neq M \times \mathbb{R}^k$

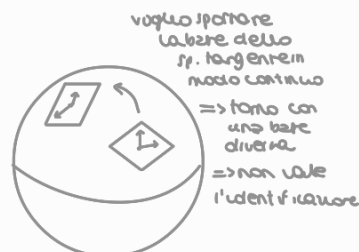
esempio

$$T\mathbb{S}^1 = \mathbb{S}^1 \times \mathbb{R}$$



ma $T\mathbb{S}^2 \neq \mathbb{S}^2 \times \mathbb{R}^2$ (non sono omeomorfi!)

è campo vett. sulla sfera



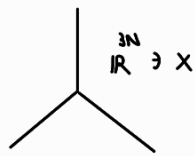
HAIRY BALL THEOREM:

non esiste alcun campo vett. continuo ovunque $\neq 0$ su \mathbb{S}^2

Vincoli fissi ologomi e ideali

P_1, \dots, P_N

$$M\ddot{X} = F(X, \dot{X})$$



• sottorieme $S \subset \mathbb{R}^{6N}$

• forze che agiscono sui punti materiali

$$\Phi = (\phi_1, \dots, \phi_N) \quad \text{"reazioni vincolari"}$$

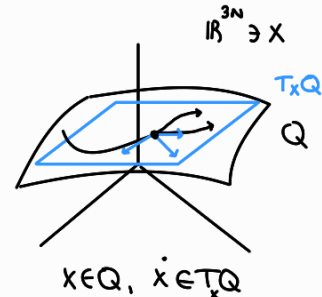
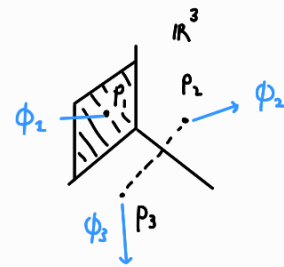
S sia quasi-invariante per $M\ddot{X} = F(X, \dot{X}) + \Phi(X, \dot{X})$



1) S sia sottorieme $T\mathbb{R}^{3N}$

2) $S = TQ$ di una sottorieme Q di $\mathbb{R}^{3N} \ni X$

(vincolo ologomo)



def Matrice massa M , forze attive $F = (f_1, \dots, f_N)$

1) "vincolo ologomo" (fisso)

• sottorieme (connessa) Q di $\mathbb{R}^{3N} \ni X$

• mappa $\Phi: T\mathbb{R}^{3N} \rightarrow \mathbb{R}^{3N}$

te TQ sia quasi-invariante per $M\ddot{X} = F(X, \dot{X}) + \Phi(X, \dot{X})$, usè per

$$(*) \begin{cases} \dot{X} = U \\ \dot{U} = M^{-1} F(X, \dot{X}) + M^{-1} \Phi(X, \dot{X}) \end{cases} \quad \text{in } T\mathbb{R}^{3N} = \mathbb{R}^{3N} \times \mathbb{R}^{3N}$$

2) Q è "varietà della configurazione" o "varietà vincolare"

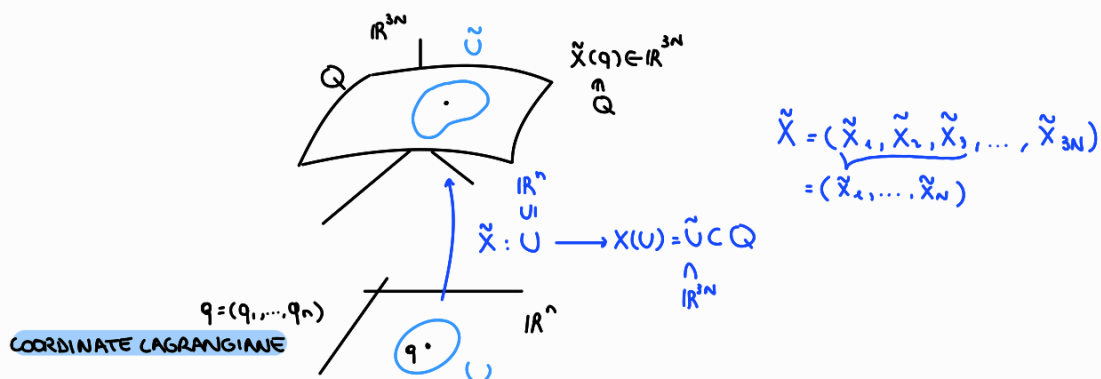
$(X, U) \in TQ$ "atti del moto vincolati"

3) $\dim Q =: n$ numero dei "gradi di libertà"

4) $\begin{cases} \text{"sistema vincolato a Q"} \\ \text{"sistema ologomo"} \end{cases} \left\{ \begin{array}{l} \text{restituire da (*) a } TQ \end{array} \right.$

(pagina 212)

Descrivere dei moti vincolati (moti su Q):



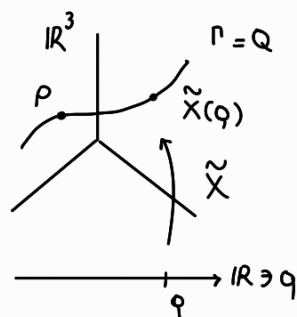
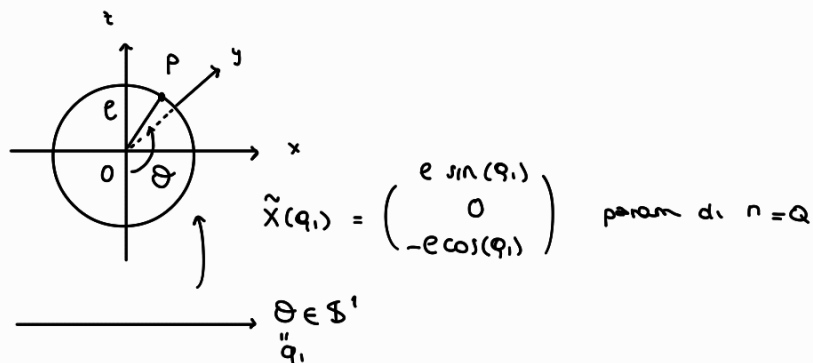
esempio 1) 1 p.to materiale vincolato a curva Γ

$$N=1$$

$$\Gamma = Q$$

$n=1$ grado di libertà

Ad esempio, Γ cerchio di raggio e nel piano $y=0$

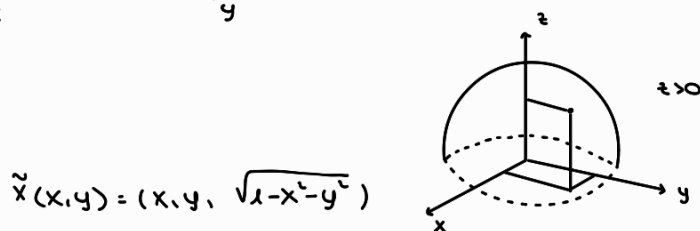
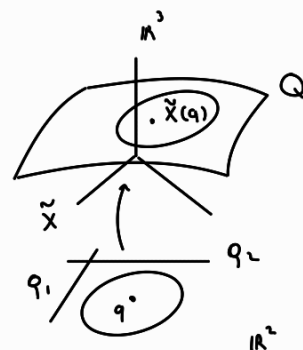
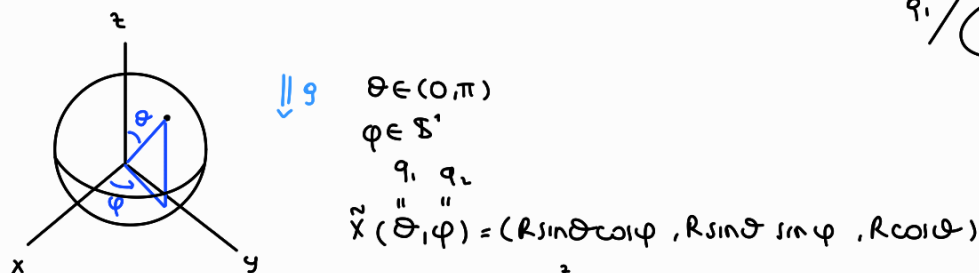


2) 1 punto mat. vincolato a superficie

$$N=1$$

$$n=2$$

Ad esempio, Q sfera di raggio R (pendolo sfenco)



3) due punti vincolato ciascuno ad una curva

$$N=2$$

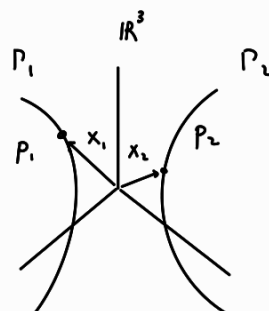
$$P_1 \in \Gamma_1, \quad Q \in \mathbb{R}^3$$

$$\Gamma_1 \neq \Gamma_2$$

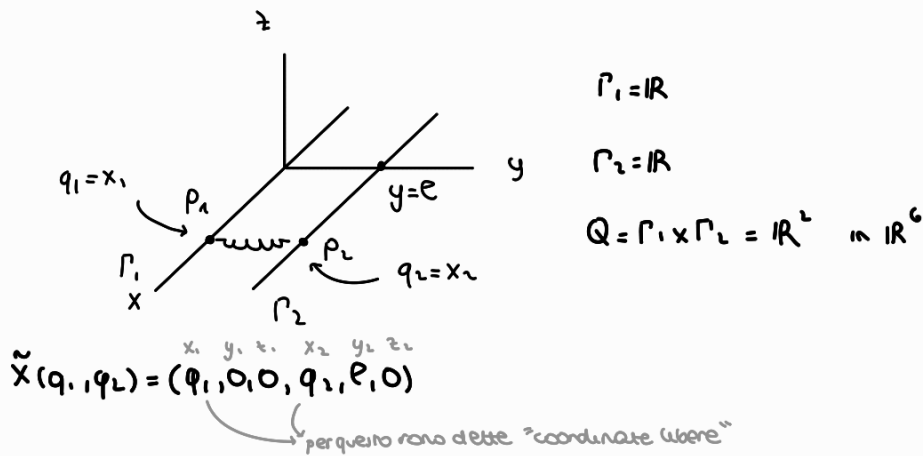
$$Q = \{(x_1, x_2) \in \mathbb{R}^3 \times \mathbb{R}^3 : x_1 \in \Gamma_1, x_2 \in \Gamma_2\}$$

$$= \{x_1 \in \mathbb{R}^3 : x_1 \in \Gamma_1\} \times \{x_2 \in \mathbb{R}^3 : x_2 \in \Gamma_2\}$$

$$\stackrel{\text{diffeo}}{\cong} \underbrace{\Gamma_1 \times \Gamma_2}_{\dim 2} \text{ in } \mathbb{R}^6$$

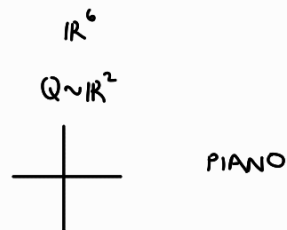
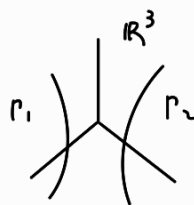


Ad esempio, P_1 asse x e P_2 retta $\begin{cases} y=e \neq 0 \\ z=0 \end{cases}$

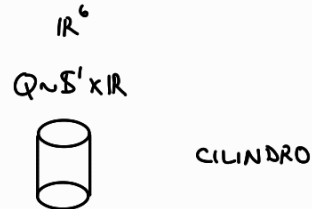
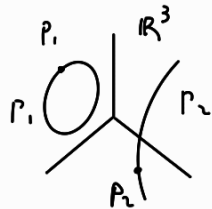


■ P_1, P_2 curve non chiuse $\simeq \mathbb{R}, \mathbb{R}$
 diffeo

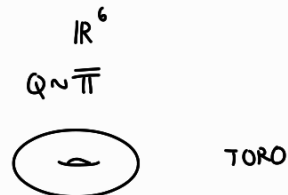
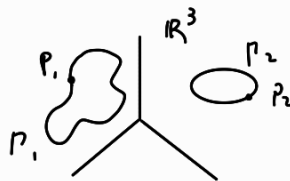
$$\Rightarrow Q \simeq \mathbb{R}^2 \text{ in } \mathbb{R}^6$$



■ P_1 chiusa, P_2 non chiusa $\Rightarrow Q \simeq \mathbb{S}^1 \times \mathbb{R}$ in \mathbb{R}^6



■ P_1, P_2 chiuse $\simeq \mathbb{S}^1, \mathbb{S}^1 \Rightarrow Q \simeq \mathbb{T}$ in \mathbb{R}^6



3.1) (pendolo doppio)

$$N=2$$

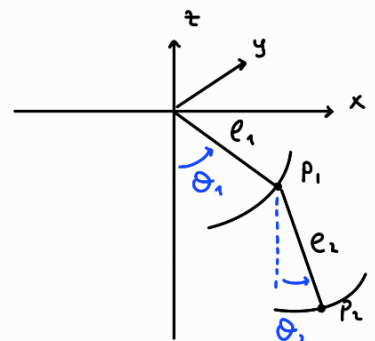
$$P_1, P_2 \text{ con } \begin{cases} y_1=0 \\ x_1+z_1^2=e_1^2 \end{cases} \text{ e } \|P_1, P_2\| = e_2$$

$P_1 \in \text{cerchio}, P_2 \in \text{cerchio}$

$$Q \simeq \mathbb{S}^1 \times \mathbb{S}^1 = \mathbb{T}$$

($Q \sim$ viene usata per denotare oggetti in \mathbb{R}^{3N})

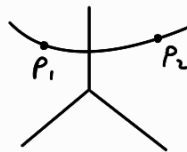
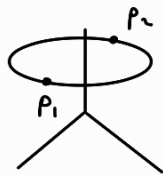
$$\tilde{X}(\theta_1, \theta_2) = (x_1(\theta_1, \theta_2), \tilde{y}_1(\theta_1, \theta_2), \tilde{z}_1(\theta_1, \theta_2), x_2(\dots), \tilde{y}_2(\dots), \tilde{z}_2(\dots))$$



$$\begin{cases} x_1 = \ell_1 \sin \theta_1 \\ y_1 = 0 \\ z_1 = -\ell_1 \cos \theta_1 \end{cases} \quad \left. \begin{array}{l} \text{dipendono} \\ \text{solo da } \theta_1 \end{array} \right\} \quad \begin{aligned} &= \tilde{x}_1(\theta_1, \theta_2) = \tilde{X}_1(\theta_1, \theta_2) \\ &= \tilde{y}_1(\theta_1, \theta_2) = \tilde{X}_2(\theta_1, \theta_2) \end{aligned}$$

$$\begin{cases} x_2 = \ell_1 \sin \theta_1 + \ell_2 \sin \theta_2 \\ y_2 = 0 \\ z_2 = -\ell_1 \cos \theta_1 - \ell_2 \cos \theta_2 \end{cases} \quad \left. \begin{array}{l} \text{dipendono solo} \\ \text{da } \theta_1 \text{ e da } \theta_2 \end{array} \right\} \quad \begin{aligned} &= \tilde{z}_2(\theta_1, \theta_2) = \tilde{X}_3(\theta_1, \theta_2) \end{aligned}$$

4) $N=2$ p.t. materiali vincolati alla stessa curva in \mathbb{R}^3

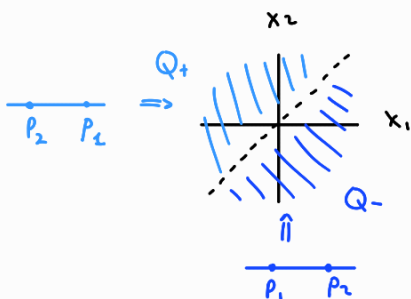


Le P_1, P_2 possono pensare per lo stesso punto, $Q = P \times P$, altrimenti:

$$\Gamma = \text{linea } x$$

$$Q = \{(x_1, y_1, z_1, x_2, y_2, z_2) \in \mathbb{R}^6 : y_1 = y_2 = z_1 = z_2 = 0, x_1 \neq x_2\}$$

$$Q = Q_+ \cup Q_- \quad \text{con } Q_{\pm} = \{(x_1, x_2) \in \mathbb{R}^2 : x_1 \gtrless x_2\} \cong \mathbb{R}^2$$



Per capire quale sia la varietà delle configurazioni

bisogna guardare le condizioni iniziali.

In entrambi i casi il sistema ha due gradi di libertà.

5) (manubrio)

$$N=2, \quad d(P_1, P_2) = \text{cost}$$

$$P_1 \in \mathbb{R}^3$$

Fissato $P_1 \in \mathbb{R}^3$, P_2 può stare su una sfera

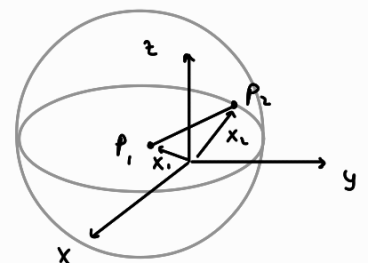
si dimostra $\leadsto Q \cong \mathbb{R}^3 \times \mathbb{S}^2, \quad n=5$

$$\varphi(x_1, x_2) = \|x_1 - x_2\|^2 - e^2, \quad \psi: \mathbb{R}^6 \rightarrow \mathbb{R}$$

$\begin{matrix} \mathbb{R}^3 & \mathbb{R}^2 \end{matrix}$

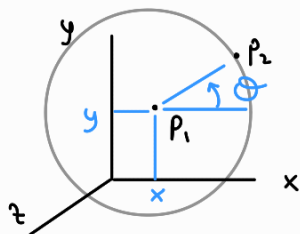
$$D\psi(x_1, x_2) = \begin{pmatrix} x_1 - x_2 \\ x_2 - x_1 \end{pmatrix} \begin{cases} x_1 - x_2 \\ y_1 - y_2 \\ z_1 - z_2 \\ x_2 - x_1 \\ y_2 - y_1 \\ z_2 - z_1 \end{cases}$$

$\neq 0$ nei punti di $Q \Rightarrow$ sottov. 5-dim



6) (manubrio vincolato ad un piano)

$$d(P_1, P_2) = \text{cost}, \quad P_1, P_2 \in \text{piano } x, y$$



$$Q = \mathbb{R}^2 \times \mathbb{S}^1$$

$$n=3$$

$$\text{eq vincolo: } \begin{cases} z_1 = 0 \\ z_2 = 0 \\ (x_1 - x_2)^2 + (y_1 - y_2)^2 = e^2 \end{cases}$$

$$Q = \psi^{-1}(0) \text{ con } \psi: \mathbb{R}^6 \rightarrow \mathbb{R}^3$$

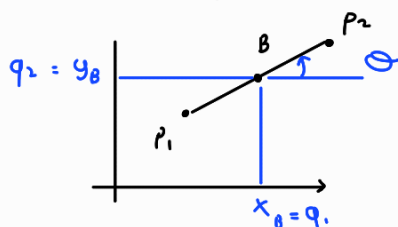
$$\psi(x_1, \dots, z_2) = (z_1, z_2, (x_1 - x_2)^2 + (y_1 - y_2)^2 - e^2)$$

$$\psi'(x_1, \dots, z_2) = \begin{pmatrix} 0 & 0 & 1 & 0 & 0 & 0 \\ 0 & 0 & 0 & 0 & 0 & 1 \\ 2(x_1 - x_2) & 2(y_1 - y_2) & 0 & 2(\dots) & 2(\dots) & 0 \end{pmatrix} \neq 0 \quad (P_1 \neq P_2)$$

possiamo prendere la parametrizzazione:

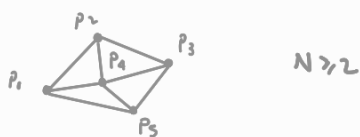
$$\tilde{\chi}(x, y, \theta) = (x, y, 0, x + e \cos \theta, y + e \sin \theta, 0) \quad (\rightsquigarrow \mathbb{R}^2 \times \mathbb{S}^1 \simeq Q)$$

oppure anche con le seguenti coordinate



$$\Rightarrow \begin{cases} x_1 = q_1 - \frac{e}{2} \cos \theta \\ y_1 = q_2 - \frac{e}{2} \sin \theta \\ z_1 = 0 \\ \vdots \\ \vdots \end{cases}$$

7) vincolo di rigidità



permette di descrivere un insieme di punti rigido, dunque tutti i corpi rigidi.

Immaginiamo di fissare $P_i \in \mathbb{R}^3$ e poi fissiamo una base in cui i punti del

sistema siano fissi: posso quindi determinare la posizione di tutti i punti

guardando l'orientazione della base. Si ottiene che il sistema è $\simeq \mathbb{R}^3 \times \text{SO}(3)$

ripasso vincolo olonomo:

• sotto $Q \subseteq \mathbb{R}^{3N}$

• $\Phi: \mathbb{R}^{3N} \times \mathbb{R}^{3N} \rightarrow \mathbb{R}^{3N}$

tc $M\ddot{x} = F + \Phi \iff \begin{cases} \dot{x} = v \\ \dot{v} = F + \Phi \end{cases}$

abbia TQ come sotto. q -invariante (tangente a TQ)

Vogliamo capire se, comunque venga assegnata Q , esiste una Φ che renda TQ quasi-invariante.

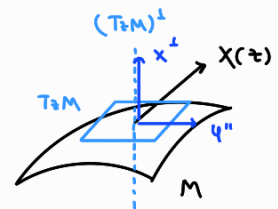
oss $\dot{z} = X(z), \quad z \in M$

sotto. M di M

Esiste un campo vett. Y su M tc M sia quasi-invariante per $\dot{z} = X(z) + Y(z)$,
 cioè $X+Y$ (tangente a M ?) sì!

$T_z M = T_z M \oplus (T_z M)^\perp$ $\hookrightarrow X(z) + Y(z) \in T_z M \quad \forall z \in M$

ψ
 $v = v^{\parallel} \oplus v^{\perp}$ "ortogonale"

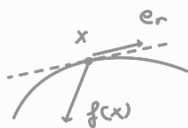


$X+Y = X'' + Y'' + \underbrace{X^\perp + Y^\perp}_{=0} \iff X+Y$ tangente ad M

Ogni Y tc $Y^\perp = -X^\perp$ rende il campo vett. $X+Y$ tangente a M

$\forall Y''$ trova un Y che rende $X+Y$ tangente ad M (la scelta di Y'' è completamente arbitraria).
 c'è una scelta speciale per $Y''=0$: la restringe su M è determinata solo da X e non da Y .

ricordo

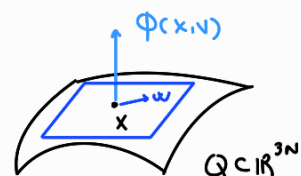


$\phi \cdot e_r = \phi_r = 0$
 in questo caso P è anche
 qualche linea (retta dritto)

def Vincolo olonomo (Q, Φ) è **IDEALE** se $\forall x \in Q, \forall v \in T_x Q$ ha
 $\Phi(x, v) \perp T_x Q$ ("principio di d'Alembert")

oss 1 $\Phi(x, v) \cdot \omega = 0 \quad \forall x \in Q, \forall v, \omega \in T_x Q$
 $\iff \Phi(x, v) \cdot v = 0 \quad \forall (x, v) \in TQ$
 $\implies \Phi$ ha potenza nulla

"ideale" =
 valore virtuale della
 reazione vincolare è 0.



oss 2. Se $X = (x_1, \dots, x_N) \in \mathbb{R}^3 \times \dots \times \mathbb{R}^3$,

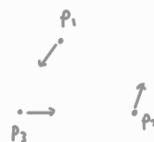
$$V = (v_1, \dots, v_N) \in \mathbb{R}^3 \times \dots \times \mathbb{R}^3$$

$$\Phi = (\phi_1, \dots, \phi_N)$$

$$\text{ha } \Phi \cdot V = \sum_{\alpha=1}^N \phi_\alpha \cdot v_\alpha = 0$$

se in qualche punto la forza cede energia al sistema, in qualche altro la assorbe

ovvero: le reazioni vincolari possono compiere lavoro sui singoli punti materiali, ma la loro somma deve essere nulla



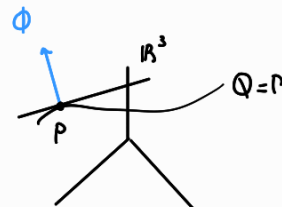
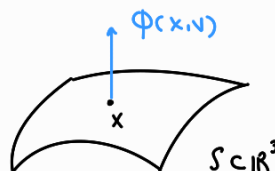
esempio

1) $N=1$ su curva

Φ reazione vincolare su P non ha componente tangente a Γ

$\Leftrightarrow \Gamma$ è liscia (no abito)

$N=1$ su superficie è analogo



2) $N=2$ punti materiali vincolati a superficie

$$X = (x_1, x_2) \in Q = \{x_1 \in S, x_2 \in S\} = S \times S$$

$$\Phi = (\phi_1, \phi_2)$$

Chiediamo sotto quali condizioni $\Phi(x_1, v_1) \cdot \omega = 0 \quad \forall (x_1, v_1) \in T_x Q, \forall \omega \in T_x Q$

Indichiamo $T_x Q$, con $x = (x_1, x_2) \in Q$

$$T_{(x_1, x_2)}(S \times S)$$

Si può scrivere Q come O di sommerso, oppure, più semplicemente:

$$t \mapsto \delta(t) = (\underbrace{x_1(t)}_{\substack{\text{curva} \\ \text{su } S}}, \underbrace{x_2(t)}_{\substack{\text{curva} \\ \text{su } S}}) \text{ curva su } S \times S$$

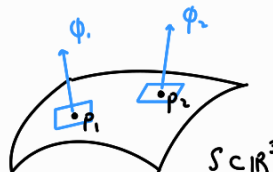
$$\Rightarrow \delta'(0) = (\underbrace{x_1'(0)}_{\substack{\cap \\ T_{x_1(0)} S}}, \underbrace{x_2'(0)}_{\substack{\cap \\ T_{x_2(0)} S}})$$

$$\Rightarrow T_{(x_1, x_2)}(S \times S) = T_{x_1} S \times T_{x_2} S$$

$$\Phi(x_1, v_1) \cdot \omega = \begin{pmatrix} \phi_1(x_1, x_2, v_1, v_2) \\ \phi_2(x_1, x_2, v_1, v_2) \end{pmatrix} \cdot \begin{pmatrix} \omega_1 \\ \omega_2 \end{pmatrix} = 0 \quad \forall \omega_1 \in T_{x_1} S, \forall \omega_2 \in T_{x_2} S$$

$$\Leftrightarrow \phi_1 \perp T_{x_1} S, \phi_2 \perp T_{x_2} S$$

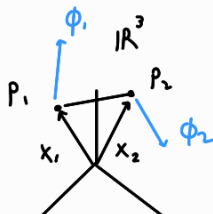
$$\Leftrightarrow S \text{ è liscia}$$



3) (manubrio)

$$Q = \mathbb{R}^3 \times \mathbb{S}^2$$

$$\dim Q = 5$$



$$\underline{\Phi} = (\phi_1, \phi_2), \quad X = (x_1, x_2) \in Q$$

capiamo quando si verifica $\underline{\Phi}(X, v) \perp T_x Q \quad \forall (X, v) \in TQ$:

$$Q = \psi^{-1}(0) \quad \text{con} \quad \psi(x_1, x_2) = \|x_1 - x_2\|^2 - e^2$$

perché Q ha codim
= 1

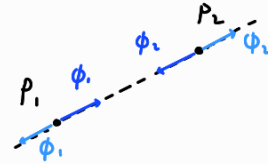
$$T_x Q = \ker J\psi(x)$$

$$(T_x Q)^\perp = \text{span}(\nabla \psi(x))$$

$$\Rightarrow \Phi(x_1, x_2, v_1, v_2) \parallel \nabla \psi(x_1, x_2) = \begin{pmatrix} 2(x_1 - x_2) \\ -2(x_1 - x_2) \end{pmatrix} \begin{cases} 2(x_{11} - x_{11}) \\ 2(x_{12} - x_{12}) \\ 2(x_{13} - x_{13}) \end{cases}$$

$$\begin{pmatrix} \phi_1 \\ \phi_2 \end{pmatrix} = k \begin{pmatrix} x_1 - x_2 \\ -(x_1 - x_2) \end{pmatrix}, \quad k \in \mathbb{R}$$

$$\Rightarrow \phi_1 = -\phi_2 \parallel x_1 - x_2$$



ovvero: il vincolo è ideale se e solo se i due vettori ϕ_1 e ϕ_2 sono diretti come la congiungente i due punti P_1 e P_2 e sono uguali e opposti.

oss se così non fosse, il manubrio sarebbe messo in moto, ma allora le reazioni vincolari eserciterebbero un lavoro sul sistema

\Rightarrow il vincolo non potrebbe essere ideale

In generale, la condizione di idealità non ha nulla a che fare con l'entità di attrito.

Inoltre, l'ortogonalità è nello spazio delle configurazioni, non in quello tridimensionale.

Equazioni di Lagrange di I specie

3. R.V. ideale o rende TQ q-inv? Sì

prop N p.ti materiali, matrice massa M , forze attive F

\forall solov. Q di \mathbb{R}^{3N}

ESISTENZA: 1. $\exists \Phi: \mathbb{R}^{3N} \times \mathbb{R}^{3N} \rightarrow \mathbb{R}^{3N}$ t.c.

$\cdot \Phi(x, v) \perp T_x Q$, $\forall (x, v) \in TQ$ ← è ideale

campo vettoriale

$$\begin{cases} \dot{X} = v \\ \dot{v} = M^{-1}(F + \Phi) \end{cases}$$

$\cdot (v, M^{-1}(F + \Phi))$ è tangente a TQ

UNICITÀ: 2. se Φ_1 e Φ_2 sono tali, allora $\Phi_1|_{TQ} = \Phi_2|_{TQ}$.

dim 1) $n = \dim Q$

→ ripete lo è localmente

Suppongo $Q = \psi^{-1}(0)$ con $\psi: \mathbb{R}^{3N} \rightarrow \mathbb{R}^{3N-n} = \mathbb{R}^r$ sommersa

Seppiamo $TQ = (T\psi)^{-1}(0)$

$$T_{(x,v)}(TQ) = \ker(T\psi)'(x, v) \quad x \in Q, v \in T_x Q$$

$$T\psi(x, v) = (\psi(x), \psi'(x)v)$$

$$T\psi'(x, v) = \begin{pmatrix} \psi'(x) & 0 \\ B(x, v) & \psi'(x) \end{pmatrix}$$

volgiamo $(v, M^{-1}(F(x, v) + \Phi(x, v))) \in T_{(x,v)} TQ$, ovvero

$$\begin{pmatrix} \psi' & 0 \\ B & \psi' \end{pmatrix} \begin{pmatrix} v \\ M^{-1}(F + \Phi) \end{pmatrix} = \begin{pmatrix} 0 \\ 0 \end{pmatrix}$$

← volgiamo trovare Φ

$$\Rightarrow \begin{cases} \psi'(x)v = 0, \text{ vera perché } v \in T_x Q \\ Bv + \psi' M^{-1}F + \psi' M^{-1}\Phi = 0 \end{cases}$$

volgiamo $\psi' M^{-1}\Phi = -(\psi' M^{-1}F + Bv)$ + idealità

$$\underbrace{(r \times 3N) \times (3N \times 3N)}_{r \times 3N}$$

(ciò soluzione $\Phi(x, v) \perp T_x Q$)

$$(T_x Q)^\perp = \text{span}(\nabla \psi_1(x), \dots, \nabla \psi_r(x))$$

$$\Phi = \sum_{i=1}^r d_i(x, v) \nabla \psi_i(x) = (\psi'(x))^t d(x, v)$$

? $\exists d: TQ \rightarrow \mathbb{R}^r$ t.c.

→ MULTIPLICATORI DI LAGRANGE

risultato

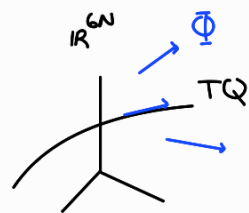
$$\psi' M^{-1}(\psi')^t d = -(\psi' M^{-1}F + Bv)$$

$$(r \times 3N) \times (3N \times 3N) \times (3N \times r)$$

$r \times r$ invertib. $M > 0$ $r \times r$

$r \times r$ invertibile $M > 0$
(def. pos. def.)

$$\Rightarrow d = -(\psi' M^{-1}(\psi')^t)^{-1}(\psi' M^{-1}F + Bv)|_{TQ}$$



def $\alpha_\omega := -(\Psi' M^{-1} (\Psi')^t)^{-1} (\Psi' M^{-1} F + B V) : \mathbb{R}^{6N} \longrightarrow \mathbb{R}^r$
 $\bar{\Phi}_\omega := (\Psi'(x))^t \alpha_\omega : \mathbb{R}^{6N} \longrightarrow \mathbb{R}^r$
 $\bar{\Phi}_\omega$ è def non solo in TQ , ma su tutto \mathbb{R}^{6N}

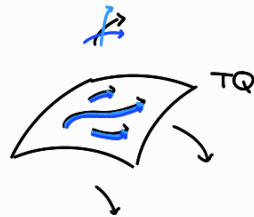
Allora il campo vettoriale $(V, M^{-1} F + M^{-1} \bar{\Phi}_\omega)$ è tg a TQ

2) $\bar{\Phi}_\omega$ qualunque $\Rightarrow \bar{\Phi}_\omega|_{TQ} = (\Psi')^T \alpha$ $\exists \alpha$

$(V, M^{-1} F + M^{-1} \bar{\Phi}_\omega)$ è tg a $TQ \iff \alpha = \alpha|_{TQ}$

□

\hookrightarrow è tutto ben def: α non dipende da Ψ , ma non lo dim.



se R.V. sono ideali $\Rightarrow \exists!$ scelta $\bar{\Phi}_\omega$ t.c. $M \ddot{X} = F(X, V) + \bar{\Phi}_\omega(X, V)$ abbia TQ q-markante.

"equazioni di Lagrange di prima specie"